

早稲田大学大学院 学生員・松梨 実郎
早稲田大学理学部 正員 吉川 長夫

1.はじめに

境界層流れにおいて、前面の粗度から粗面へ変遷すると、より下流で境界層が発達する。これを内部境界層、それまでの境界層を外部境界層と呼ぶが、この内部境界層は一様流が粗面に沿う。さて下流での発達とは異なり、純正の外部境界層の影響をうけながら発達していく。本研究はこの内部境界層の発達と、これに付随する種々の物理的特性を実験的にとりえりとともに、境界層厚さと前面に働くせん断力について考察するものである。

2. 実験概要

実験装置としては高さ10cm高さ34.5cm幅30cmの風洞を用い、滑面としてペニヤ板、粗面として模擬度とビーズの2種類のものを用いた。模擬度は上流端から7mの位置から下流端まで順に、高さ、間隔がそれぞれ2mm, 2mm, 6mmのものを、ビーズは上流端から5.18mの位置から下流端まで絶続5mmのものを設置した。

3. 実験結果及び考察

3-1. 界界層厚の意義

座標は流れ方向にx軸をとり、粗度変化を原点、それより下流を正とする。また滑面ではペニヤ板の上から、粗面では粗度の上からの距離をyとし、以後これに従うものとする。図2は粗度ビーズのときの断面の流速分布を示している。図3、図4も同一断面における特性であるが、他の断面も同様の傾向を示している。図2に示す流速分布曲線は途中で折れ曲がり、その後はペリオド的に振る舞う。これは粗面にはいってから新しい境界層が発達していくためであり、この折れた直にかけたyの値を内部境界層厚さと定義する。実験の結果得た陽極は $x=0.2$ 最大流速の位置まで1/7.0乗則で減りた。これを境界層が完全に発達して粗面に達するときのyに対し、ビーズの場合には $x=0.2$ で、べき乗 $1/8.42$ でまだ発達せず、2.0mの流れではい、 $x=0.2$ で $y=0.3$ 。また上端からの境界層は変化せず、下側からの特性に影響しないものと見なされる。

3-2. 乱流強度底、 δ'

図3に乱流強度底、 δ' の特性を示す。図に示した複雑な流速分布から求めた境界層厚さがあるが、底、 δ' の曲線はほぼ同じ位置で折れ曲がっている。このことは次に示すレイノルズ応力の特性につけてもいえる。

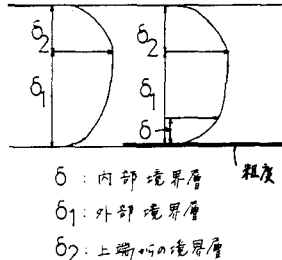


図1. 界界層説明図

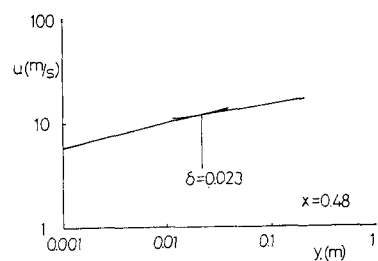


図2. 流速分布図

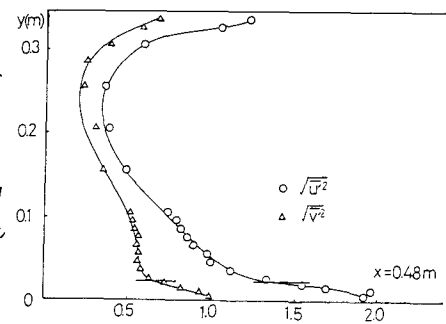


図3. 乱流強度特性

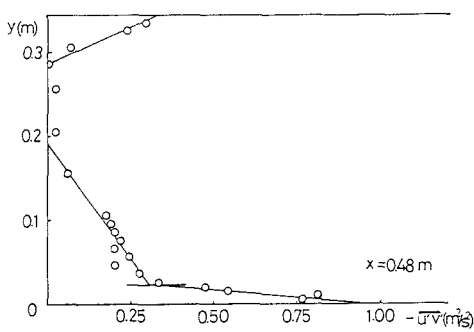


図4. レイノルズ応力

3-3. レイノルズ応力

図4はレイノルズ応力の特性を示す。若干のはらつきはあるが、内部境界層内、外部境界層内、上端からの境界層内、ともに直線勾配を示すが、内部境界層面に沿って大きさでん歟が大きいことを示す。

3-4. 境界層厚δ

図5は境界層厚の変化を示す。実験の結果、様の場合には

$$\delta = 0.067 x^{0.85}$$

と表わされ、ANTONIA and LUXTON¹⁾の実験結果と合致する。

3. またビーズの場合には

$$\delta = 0.044 x^{0.98}$$

ここで田中²⁾、片山³⁾の方法で一様流速の流れが粗面に沿うときの境界層厚を計算すると、抵抗則

$$\frac{\tau}{g U^2} = 6.17 \times 10^{-3} \left(\frac{\delta}{k_s} \right)^{-\frac{1}{2.12}}$$

$k_s = 0.00367 \text{ m}$ (様) $k_s = 0.008 \text{ m}$ (ビーズ) を代入し、カルマンの運動量方程式を連立させて

$$\delta = 0.03 x^{0.76}$$
 (様)

$$\delta = 0.037 x^{0.76}$$
 (ビーズ)

を得る。本実験で様の場合が1/7.0乗則、ビーズの場合が1/8.4乗則の流速分布よりも、粗面に流入する流れに影響を与えたことを、 $\delta = \alpha x^\beta$ と表わしたとき、 α の値は粗面の条件によりもかく粗面に流入する流れの速度勾配の方が大きく δ の大きさに影響し、流入する流れの速度勾配が小さくなるにつれて α の値は大きくなり、 β は粗面流が以前に厚くなっている乱流強度が大きいほど小さい方に偏移していくことがわかる。

3-5. 境界面上の流速s

図6は境界面に沿って流速sの変化を示す。旋軸はsを粗面流入点における外部境界層内の平均流速Uで無次元化したもので、ビーズよりも様の方がより上がり具合が大きいのは3-4で、たゞビーズの方の k_s の方が δ は粗面に流入する流れの発達具合の変化に影響された度合いが強かつたことと同様の結果が現われていると判断できる。

3-6. 底面せん断力T₀、境界面せん断力T₀

図7は底面及び境界面に沿ってレイノルズ応力の流れ方向の変化(ビーズ)を示すが、一様流の乱流境界層の場合と同様、減少する傾向が現われている。

最後に実験目的に必要な底面のせん断力T₀の算定式(12)、境界面での速度勾配による強いせん断力T₀を考慮した一部修正(下カルマンの運動量方程式)

$$\frac{T_0}{S} = \frac{n}{(n+1)(n+2)} U_r^2 \frac{2\delta}{2x} - \frac{n^2}{(n+1)(n+2)} \delta U_r \frac{2U_r}{2x} - \frac{1}{g} \frac{2\delta}{2x} \delta + \frac{T_0}{S}.$$

この計算を試みたが実測と合わず、今後の研究課題となる。

参考文献 1) ANTONIA and LUXTON: The response of a turbulent boundary layer to a step change in surface roughness
2) 田中、片山、福井、吉川: 年譲第37回, 3) 片山直夫「粗面と粗面層の表面せん断力、土木学会論文報告集 授稿中」

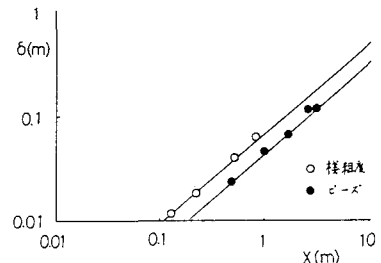


図5. 境界層厚

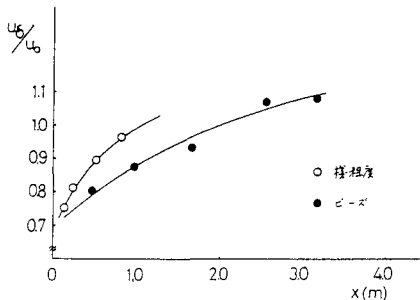


図6. 境界面流速

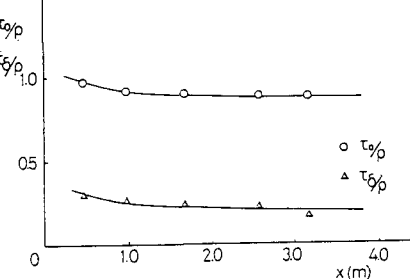


図7. せん断力